

1. まえがき 基礎構造物が地中にそれほど深く根入れされていなくても、その周囲をとりまく地盤が何らかの理由で深さ方向における物理特性が著しく異なることがある。このような地盤が水平方向に加振されれば、地表面の変動は極めて大きくなるにもかかわらず、構造物の受けた地震力というものは必ずしも大きくならない場合もある。かかる現象についてはすでに若干の解析が行なわれてきたが^{1), 2)}、ここではさらに表層地盤と粘弾性不均質地盤として取扱い、剛な円柱基礎構造物の動搖振動特性についても検討した。不均質地盤としては、せん断弾性係数が深さの1乗あるのは2乗に比例して増大する場合を対象にした。

2. 地盤の強制振動 变位の鉛直方向成分を無視するとき、水平振動に対する不均質地盤の、 x 方向における運動方程式は次式のようになる。

$$\rho \frac{\partial^2 u_g}{\partial z^2} = \frac{\partial T_{rz}}{\partial z} - \rho \frac{\partial^2 u_g}{\partial t^2} \quad \cdots \cdots (1)$$

$$\text{ここで}, T_{rz} = (\mu + \frac{\partial}{\partial z} \mu') \frac{\partial u_g}{\partial z} \quad \cdots \cdots (2)$$

基盤入力 $u_g = A_0 e^{i\omega t}$ に対する地盤の応答を $u_g = U e^{i\omega t}$ とすると、(1)式より

$$\frac{d}{dz} \left[(\mu + i\omega \mu') \frac{du_g}{dz} \right] + \rho \omega^2 U = -\rho A_0 \omega^2 \quad \cdots \cdots (3)$$

ここで、 μ と μ' を同じ分布形を持つと仮定し、

$$\mu = \mu_0 \gamma(z), \quad \mu' = \mu'_0 \gamma(z) \quad \cdots \cdots (4)$$

とすると、(3)式は次式のようになる。

$$(1 + i\omega \frac{\mu'_0}{\mu_0}) \frac{d}{dz} \left[\gamma(z) \frac{dU}{dz} \right] + \rho \omega^2 U = -\rho \omega^2 A_0 \quad \cdots \cdots (5)$$

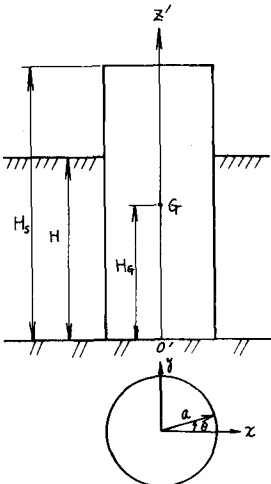


図-1 構造物-地盤系モデル

ここで、これを非減衰自由振動の式

$$\rho \frac{\partial^2 u_g}{\partial z^2} = \frac{\partial}{\partial z} \left[\mu \frac{\partial u_g}{\partial z} \right], \quad \text{すなはち} \quad \frac{d}{dz} \left[\gamma(z) \frac{d\phi}{dz} \right] + \rho \zeta_m^2 \phi = 0 \quad \cdots \cdots (6)$$

における $\phi(z)$ が、境界条件 $z=H_1: d\phi/dz=0, z=H_2: \phi(z)=0$ を満たすとき持つ固有関数 $\phi_m(z)$

$$\text{で (5) 式を展開すると} \quad u = A_0 \omega^2 e^{i\omega t} \sum_{m=1}^{\infty} \frac{\phi_m(z)}{\xi_m^2} \frac{\beta_{0m}}{\alpha_{0m}} = A_0 (\omega)^2 e^{i\omega t} \sum_{m=1}^{\infty} \frac{\phi_m(z)}{\xi_m^2} \frac{\beta_{0m}}{\alpha_{0m}} \quad \cdots \cdots (7)$$

$$\therefore \text{ここで}, \alpha_{0m} = \int_{H_1}^{H_2} \phi_m^2(z) dz, \quad \beta_{0m} = \int_{H_1}^{H_2} \phi_m(z) dz, \quad \xi_m = \sqrt{(1+i\omega \mu'_0/\mu_0) \xi_m^2 - \omega^2}, \quad \xi_m^* = \xi_m / \omega_0, \quad \omega_0: \text{基準振動数} \quad \cdots \cdots (8)$$

このとき固有関数 $\phi_m(z)$ は分布形状 $\gamma(z)$ の差異により次のようになれる。

$$(1) \quad \gamma(z) = z/H_1 \quad \text{のとき}$$

$$\phi_m(z) = Y_1(2\xi_m \frac{H_1}{\alpha_0}) J_0(2\xi_m \sqrt{\frac{H_1 z}{\alpha_0^2}}) - J_1(2\xi_m \frac{H_1}{\alpha_0}) Y_0(2\xi_m \sqrt{\frac{H_1 z}{\alpha_0^2}}), \quad (\alpha_0: \text{基準横波伝播速度}) \quad \cdots \cdots (9)$$

$$(2) \quad \gamma(z) = (z/H_1)^2 \quad \text{のとき}$$

$$\phi_m(z) = \sqrt{\frac{H_1}{k}} \left[\sin \left\{ \frac{1}{2} \sqrt{\frac{4H_1^2 \zeta_m^2}{\beta_0^2} - 1} \cdot \ln \left(\frac{z}{H_1} \right) \right\} + \sqrt{\frac{4H_1^2 \zeta_m^2}{\beta_0^2} - 1} \cdot \cos \left\{ \frac{1}{2} \sqrt{\frac{4H_1^2 \zeta_m^2}{\beta_0^2} - 1} \cdot \ln \left(\frac{z}{H_1} \right) \right\} \right] \quad \dots \dots (10)$$

3. 構造物と地盤との相互作用 構造物も同様に基盤より強制力を与えられるので、その結果構造物は振動中に地盤との間にエネルギーのやりとりをする。この地盤に伝えられるエネルギーはいうまでもなく無限遠へ逸散する。この逸散する波動は円形断面の構造物表面から、四方八方に放射されるので、これを円筒座標(r, θ, z)を用いて運動方程式を書けば以下のようになる。

$$\frac{\partial \sigma_r}{\partial r} + \frac{1}{r} \frac{\partial T_{rz}}{\partial z} + \frac{\partial T_{rz}}{\partial z} + \frac{\sigma_r - \sigma_\theta}{r} = \rho \frac{\partial^2 U}{\partial t^2} + \rho \frac{\partial^2 u_\theta}{\partial t^2} \cos \theta \quad \dots \dots (11)$$

$$\frac{\partial \sigma_\theta}{\partial r} + \frac{1}{r} \frac{\partial \sigma_\theta}{\partial \theta} + \frac{\partial T_{rz}}{\partial z} + \frac{2}{r} T_{rz} = \rho \frac{\partial^2 U}{\partial t^2} - \rho \frac{\partial^2 u_r}{\partial t^2} \sin \theta \quad \dots \dots (12)$$

$$\begin{aligned} \text{ここで}, \quad & \sigma_r = \lambda \Delta + 2(\mu + \mu' \frac{\partial}{\partial t}) \frac{\partial U}{\partial r} \\ & \sigma_\theta = \lambda \Delta + 2(\mu + \mu' \frac{\partial}{\partial t}) \left(\frac{1}{r} \frac{\partial U}{\partial \theta} + \frac{U}{r} \right) \\ & T_{rz} = (\mu + \mu' \frac{\partial}{\partial t}) \left(\frac{\partial U}{\partial z} - \frac{U}{r} + \frac{1}{r} \frac{\partial U}{\partial \theta} \right) \\ & T_{\theta z} = (\mu + \mu' \frac{\partial}{\partial t}) \left(\frac{\partial U}{\partial z} \right) \\ & \text{よし} \Delta = \nabla^2 = \frac{1}{r} \frac{\partial}{\partial r} \left(r \frac{\partial}{\partial r} \right) + \frac{1}{r^2} \frac{\partial^2}{\partial \theta^2} \end{aligned} \quad \dots \dots (13)$$

$$\therefore \Delta = \frac{1}{r} \frac{\partial}{\partial r} \left(r \frac{\partial}{\partial r} \right) + \frac{1}{r^2} \frac{\partial^2}{\partial \theta^2}, \text{ よし} 2\tilde{\omega}_e = \frac{1}{r} \left\{ \frac{\partial(\lambda \Delta)}{\partial r} - \frac{\partial U}{\partial \theta} \right\} \quad \dots \dots (14)$$

に替えて、(11), (12) 式を書き直すと、

$$\frac{\partial^2 \Delta}{\partial t^2} = (\lambda + 2\mu) \nabla^2 \Delta + \frac{\partial}{\partial z} \left[(\mu + \mu' \frac{\partial}{\partial t}) \frac{\partial \Delta}{\partial z} \right] \quad \dots \dots (15)$$

$$\frac{\partial^2 (2\tilde{\omega}_e)}{\partial t^2} = \mu \nabla^2 (2\tilde{\omega}_e) + \frac{\partial}{\partial z} \left[(\mu + \mu' \frac{\partial}{\partial t}) \frac{\partial (2\tilde{\omega}_e)}{\partial z} \right] \quad \dots \dots (16)$$

ここで、 λ, μ, μ' と z 方向に同様な分布形 $\gamma(z)$ とするとして、(15), (16) 式の $\Delta, 2\tilde{\omega}_e$ の時間項を省くと、

$$(\lambda + 2\mu) \nabla^2 \Delta + (1 + i\omega \frac{\mu'}{\mu}) \frac{\partial}{\partial z} \left[\mu \frac{\partial \Delta}{\partial z} \right] + \rho \omega^2 \Delta = 0 \quad \dots \dots (17)$$

$$\mu \nabla^2 (2\tilde{\omega}_e) + (1 + i\omega \frac{\mu'}{\mu}) \frac{\partial}{\partial z} \left[\mu \frac{\partial (2\tilde{\omega}_e)}{\partial z} \right] + \rho \omega^2 (2\tilde{\omega}_e) = 0 \quad \dots \dots (18)$$

それゆえ、 r, θ 方向の変位 u, v は 2. における 地盤の固有関数 $\phi_m(z)$ を用いて以下のように求められる。

$$u = \sum_{m,n} \left[A_{mn} \frac{\partial K_m(h_r)}{\partial r} + m B_{mn} \frac{K_m(h_r)}{r} \right] \cos n\theta \cdot \phi_m(z) \cdot e^{i\omega t} \quad \dots \dots (19)$$

$$v = \sum_{m,n} \left[m A_{mn} \frac{K_m(h_r)}{r} + B_{mn} \frac{\partial K_m(h_r)}{\partial r} \right] (-\sin n\theta) \cdot \phi_m(z) \cdot e^{i\omega t} \quad \dots \dots (20)$$

ここに A_{mn}, B_{mn} は積分定数であり、構造物表面において地盤と離れない限り、変位連続の境界条件より決定することができる。さらにまた $n=1, 2, \dots$ であることは容易にわかる。

ところで、構造物に作用する z 方向の側圧を $p(z)$ とすると、次のようにして求められる。

$$p(z) = \int_a^r (\sigma_r \cos \theta - T_{rz} \sin \theta) ad\theta = -C \pi a^2 \sum_{m=1}^{\infty} \left(D_m - \frac{B_{1m}}{\alpha_m} \frac{A_m \omega^2}{\zeta_m^2} \right) \frac{\partial \phi_m}{\partial z} \zeta_m^2 \gamma(z) \phi_m(z) e^{i\omega t} \quad \dots \dots (21)$$

$$\therefore \text{ここで}, \quad D_m = \int_{H_1}^{H_2} \gamma(z) \phi_m(z) dz / \int_{H_1}^{H_2} \phi_m^2(z) dz, \quad \beta_{1m} = \int_{H_1}^{H_2} \gamma(z) \phi_m^2(z) dz \quad \dots \dots (22)$$

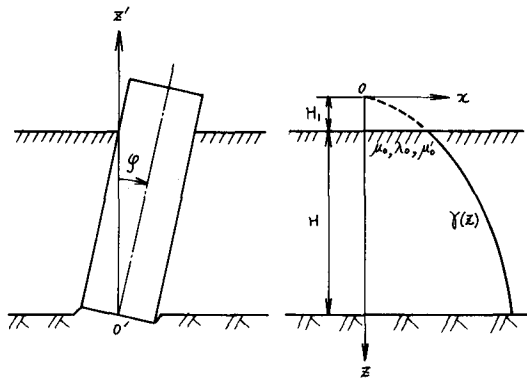


図-2 動搖振動モデルと分布関数

$$\Omega_m = \left[\frac{ka}{K_1(ha)} + \frac{ka}{K_1(ha)} + 4 \right] / \left[\frac{ka}{K_1(ha)} \cdot \frac{ka}{K_1(ha)} + \frac{ka}{K_1(ha)} + \frac{ka}{K_1(ha)} + \frac{ka}{K_1(ha)} \right] \quad \text{---(22)}$$

$$h = \sqrt{d_m/3_m} \cdot \xi_m/d_0, k = \sqrt{\lambda_m/\beta_m} \cdot \xi_m/\beta_0, d_0, \beta_0 : \text{基準波速度} \text{ および } \text{横波伝播速度}$$

ここで、この剛な円柱構造物がその底面中心線まわりの動搖運動を行なうとその運動方程式は田沿見式と同様な式法で表されると、次式のように書かれます。

$$I \frac{d^2\varphi}{dt^2} + C_s \frac{d\varphi}{dt} + k_{\text{eff}}\varphi = -m_e H_0 \frac{d^2 U_0}{dt^2} + \int_0^H p(z) z' dz' \quad \text{---(23)}$$

この解を $\varphi = \varphi_0 e^{i\omega t}$ とするととき、 φ_0 は次式で与えられます。

$$\varphi_0 = \frac{\frac{H_0}{i\omega} + \frac{1}{H} \left(\frac{\omega}{\omega_0} \right)^2 \chi (f_1 + i f_2)}{1 + 2i k_s \left(\frac{\omega}{\omega_0} \right) - \left(\frac{\omega}{\omega_0} \right)^2 + \chi (f_1 + i f_2)} \cdot A_0 \left(\frac{\omega}{\omega_0} \right)^2 \quad \text{---(24)}$$

これゆえ、 $Z = H_0$ の応答倍率 $|J(\omega; H_0)|$ は次式で与えられます。

$$|J(\omega; H_0)| = \left| \frac{U_0 + U(H_0)}{U_0} \right| = \left| \frac{\frac{H_0}{i\omega} + \frac{H_0}{H} \left(\frac{\omega}{\omega_0} \right)^2 \chi (f_1 + i f_2)}{1 + 2i k_s \left(\frac{\omega}{\omega_0} \right) - \left(\frac{\omega}{\omega_0} \right)^2 + \chi (f_1 + i f_2)} \left(\frac{\omega}{\omega_0} \right)^2 \right| \quad \text{---(25)}$$

こゝとき、 $f_1 + i f_2$ および $f_1 + i f_2$ はそれそれぞれ地盤振動における表面地盤の動的剛性効果と振動土圧効果を示すものであって、次式で定義される量である。

$$\begin{aligned} \sum_{m=1}^{\infty} \left(\frac{H_0}{H} \beta_{cm}^* - \beta_{3m}^* \right) \frac{\beta_{2m}^*}{\beta_{1m}^*} \xi_m^2 \Omega_{ms} &= \sum_{m=1}^{\infty} \left(\frac{\xi_m}{\omega_0} \right)^2 \left(\frac{H_0}{H} \beta_{cm}^* - \beta_{3m}^* \right) \frac{\beta_{2m}^*}{\beta_{1m}^*} \Omega_{ms} = f_1 + i f_2 \\ \sum_{m=1}^{\infty} \frac{\beta_{cm}^* \beta_{2m}^*}{\beta_{1m}^*} \Omega_{ms} / \sum_{m=1}^{\infty} \left(\frac{\xi_m}{\omega_0} \right)^2 \left(\frac{H_0}{H} \beta_{cm}^* - \beta_{3m}^* \right) \frac{\beta_{2m}^*}{\beta_{1m}^*} \Omega_{ms} &= g_1 + i g_2 \end{aligned} \quad \text{---(26)}$$

ここに、 Ω_{ms} は $\omega = i$ の場合の Ω_m で、 χ は $\omega = 0$ の場合の側圧と底面圧との比である。このとき構造物の動搖運動固有振動数 ω_{st} と χ は次式で与えられます。

$$\frac{\omega_{st}}{\omega_0} = C' \left[\frac{a}{H} / \frac{H_0}{H} \left\{ \frac{1}{4} \left(\frac{a}{H} \right)^2 + \frac{1}{3} \left(\frac{H_0}{H} \right)^2 \right\} \right]^{1/2}, \chi = C'' \cdot \frac{a}{H} \sum_{m=1}^{\infty} \left(\frac{H_0}{H} \beta_{cm}^* - \beta_{3m}^* \right) \frac{\beta_{2m}^*}{\beta_{1m}^*} \Omega_{ms} \quad \text{---(27)}$$

4. 計算結果とその考察 β_0/χ_0 (基準波速度/基準波速度) = 1/3, $k_0 = k_5 = 0.05$, $H/H_0 = 2/3$, $H_0/H = 1$ の計算結果を図-3～図-10に掲げた。図-3～図-5は $\gamma(z)$ が直線分布 ($NP=1$) の場合で、図-6～図-8は $\gamma(z)$ が放物線分布 ($NP=2$) の場合である。図-3と図-6の動的剛性効果だけは図-11乙、実部が地盤の第1次共振点で急速に減衰し、以後は徐々に減少する。一方虚部 f_2 は第1次共振点で過渡的と急速に増加、その後も逐段的に急増していき、これが復元力均値地盤の場合と類似している。この傾向のため構造物の高次の共振は比較的早く止ることが知られる。図-3と図-7は振動土圧の効果であるが、これも均値地盤におけると同様に、高次の共振はほとんど無視でき、近似的に1自由度系の共振曲線と等置しうる。図-5と図-8は地表面からの構造物、共振曲線であるが、この例では γ を小さくとったために割合地盤の影響が少ないので、構造物の共振点と地盤の第2次以上の共振点が接近しても、相乗効果はほとんど認められず、図-8の $H_1/H=0.2$ の場合は地盤の第1次共振点と構造物共振点が接近して相乗効果が、より認められる。図-9と図-10は表面変位と震動圧鉛直分布であるが、表面変位が小さな場合でも構造物下部で大きな震動圧が生じることがあり、表面での変位が相当大きくなても、表面近くの震動圧はほとんど大差なく小さいことが知られる。

参考文献
1) 田中信義・小笠清美: 不規則地震に対する水平地盤力について、日本建築学会論文報告集(1966)第1号
2) 土岐義三: 不規則震動地盤中にある構造物の震動応答、第4回日本建築工学会大会(1970)論文集
3) 田中信義: 深さ基準と層別構造物の震動応答(1966)論文集

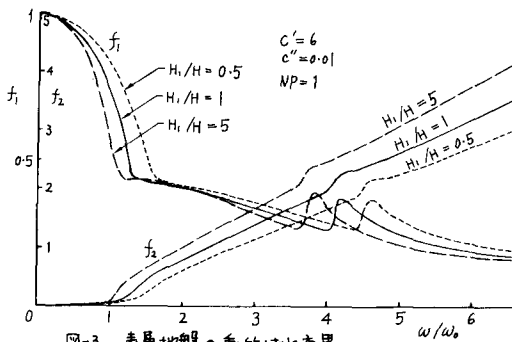


図-3 表層地盤の動的ひねり効果

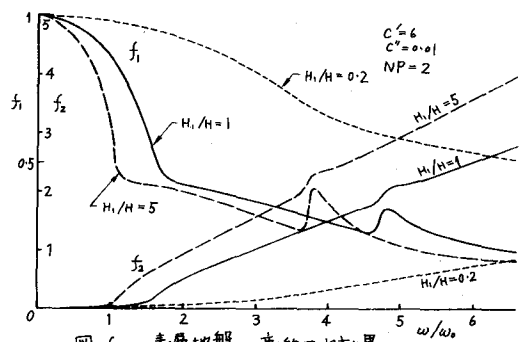


図-6 表層地盤の動的ひねり効果

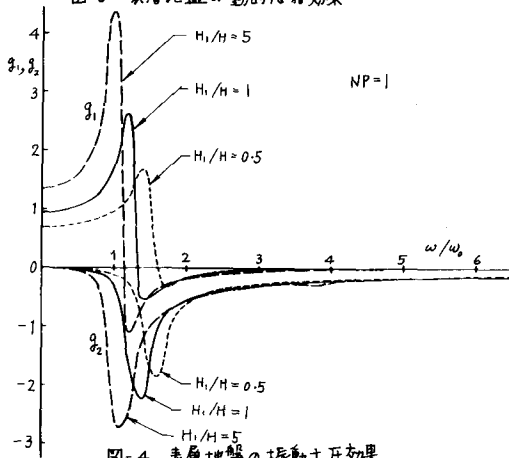


図-4 表層地盤の振動土圧効果

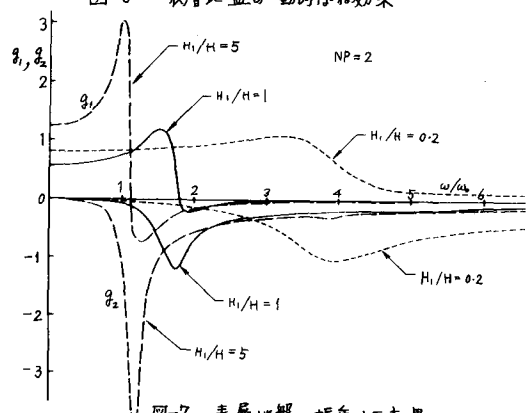


図-7 表層地盤の振動土圧効果

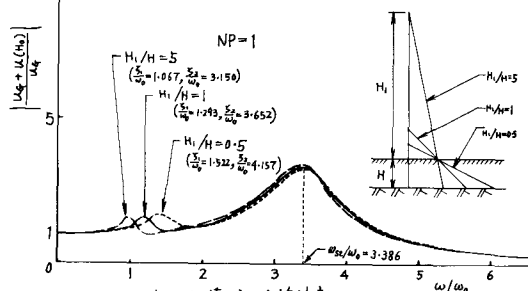


図-5 円柱剛基盤の変位応答倍率

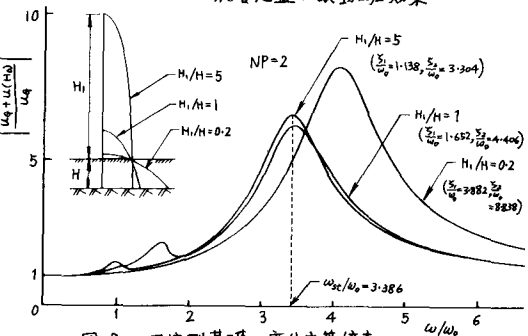


図-8 円柱剛基盤の変位応答倍率

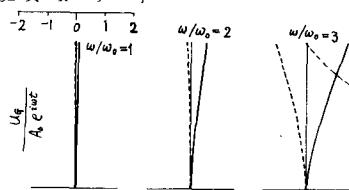


図-9 表層地盤の変位分布

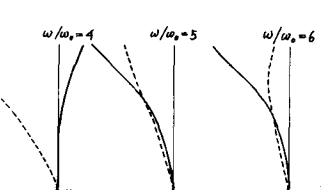


図-9 表層地盤の変位分布

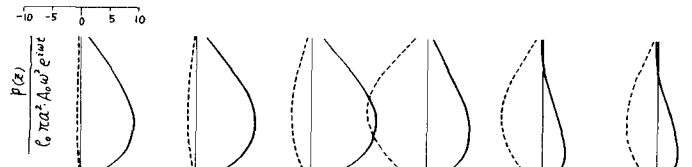


図-10 地盤反応力分布